CHISON
Value Beyond Imaging

2.0-6.8 МГц Конвексный датчик
D3C60L

2.0-6.8 МГц Объемный датчик
V4C40L

4.0-15.0 МГц Линейный датчик
D7L40L

7.0-15.0 МГц Линейный датчик
D12L40L

4.0-15.0 МГц Линейный датчик
D8L50L(50мм)

4.0-15.0 МГц Линейный датчик
D7L40L(192)

4.0-10.7 МГц Интраоперационный
дачтчик:D10L30L

1.0-5.3 МГц Фазированный датчик
D3P64L

4.0-12.0МГц Микро-конвексный датчик
D6C15L

2.0-8.0 М Гц Фазированный датчик
D5P64L

1.5-2.5 МГц Карандашный датчик
D2D16L

4.0-6.0 МГц Чреспищеводный датчик
T5P64L

4.0-6.0 МГц Чреспищеводный датчик
MT5P48L

4.0-12.0 МГц трансвагинальный датчик
D6C12L

4,0-15,0 МГц трансвагинальный датчик
D7C10L

4,0-15,0 МГц Транс-Ректальный датчик
D7L40L-REC

2.0-6.8 МГц Микро-конвексный датчик
D3C20L

QBIT 11

- Ультразвуковая система со сверхтонкой компактной сенсорной панелью, представляющая собой превосходный инструмент для оптимизации процесса и упрощения клинического скрининга.
- Система является объединением современных достижений в области разработки и модернизации аналогичных систем, а также специализированного комплекса тщательно проработанных функций

10.1-дюймовая сенсорная HD панель

- Сверх чувствительный
- Настраиваемый интерфейс
- Эргономичное исполнение обеспечивает всестороннюю визуализацию под разными углами.

Интеллектуальный режим ожидания
·Интеллектуальное управление позволяет продлить время работы батареи
·Мгновенное включение питания

21-дюймовый HD LED монитор, поворачивающийся на ± 90 °

Инновационный энергосберегающий источник света

Адаптивная панель управления поворачивающаяся на ± 45 ° с регулировкой по высоте (0-15 см)

Отдельно-выделенное место для видео-принтера

Встроенная батарея

Полноценный набор:
Инновационное сервисное решение
Быстрый • Легкий • Надежный • Доступный

Детальный обзор функций и приложений

Технология Одиночного кристалла

- CHISON CBit 9 использует новейшие достижения в технологии производства преобразователей, которые имеют более широкую полосу пропускания, более высокую чувствительность и лучшее соотношение сигнал/шум, обеспечивая превосходную анатомическую детализацию для пользователей, обеспечивая отличное разрешение и проникающую способность, особенно при сложном сканировании.

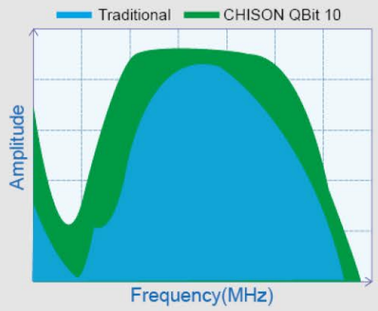

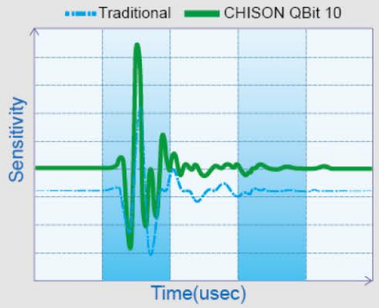

Широкоугольный трансвагинальный датчик

- Чрезвычайно широкий угол обзора до 210°.
- Обеспечивает намного больше диагностической информации.
- Экономия времени, повышенная эффективность.

Отслеживание ЛЖ

- Новый не инвазивный метод оценки общей и полостной функций левого желудочка (ЛЖ).

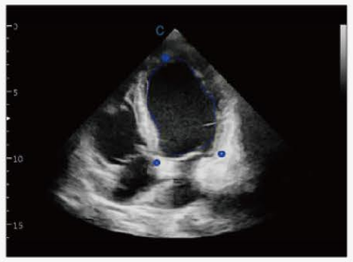

Стресс-эхо

- Помогает подтвердить или исключить заболевания коронарной артерии.
- Пациенты с закупорками коронарных артерий могут иметь минимальные симптомы во время отдыха или не иметь их вообще.
- Симптомы и признаки болезни сердца могут быть обнаружены путем воздействия стресса на сердце.

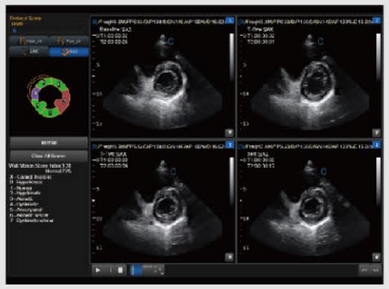

Количественная эластография

- Показывает эластичность различных тканей в разных цветах.
- Предоставляет больше клинической информации, особенно для мягких тканей.
- Измерение отношения деформаций дает количественное соотношение между средней деформацией выбранной области и соседней нормальной области ткани.

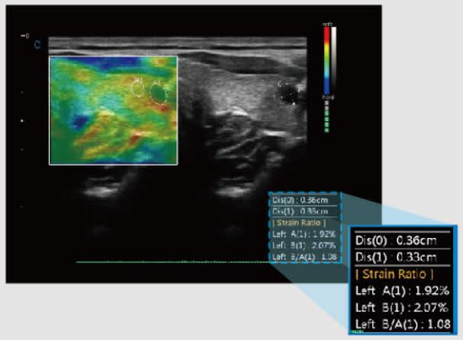

Автоматическое обследование молочной железы

- Автоматическое определение повреждений молочной железы.
- Указание размеров.
- Эффективен для диагностики.

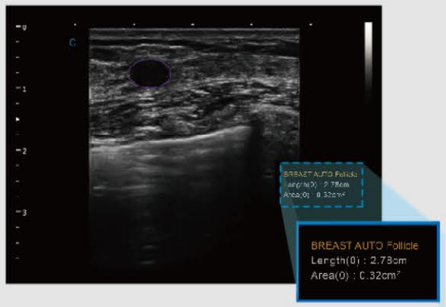

Умная HIP диагностика

- Использование кривых для диагностики тазобедренного сустава (особенно полезно при биопротезировании), помогает врачу осуществлять более легкую и точную диагностику во время педиатрического сканирования тазобедренного сустава.
- Разный угол указывает на разный уровень деформации тазобедренного сустава, который легче и понятнее видеть с помощью кривых. (I, II, D, IIIa, IIIb).

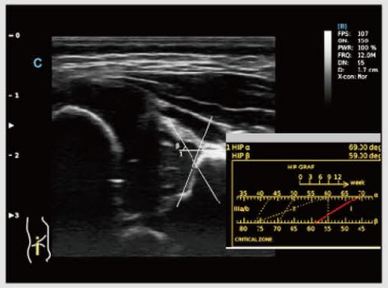

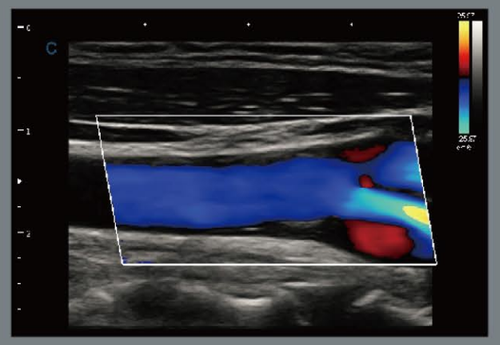

Carotid Plaque, C Mode

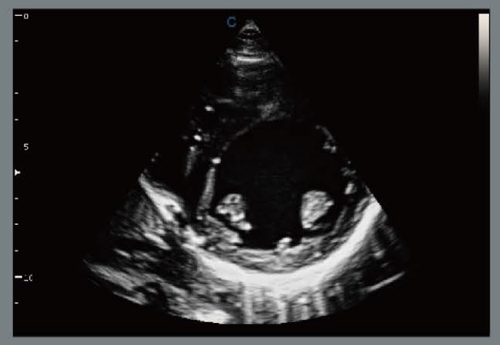

Papillary Short Axis View, B Mode

Fetal Face, Virtual HD

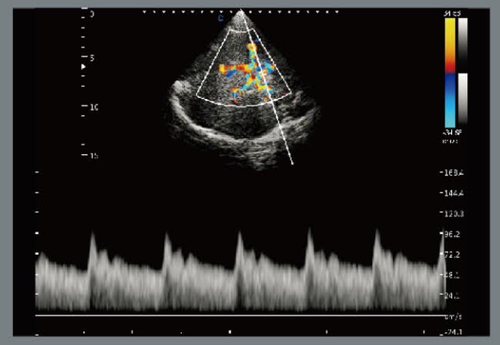

Transcranial, PW Mode

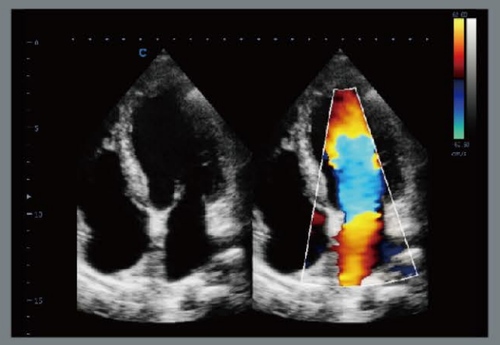

Four Chambers View, B/BC Mode

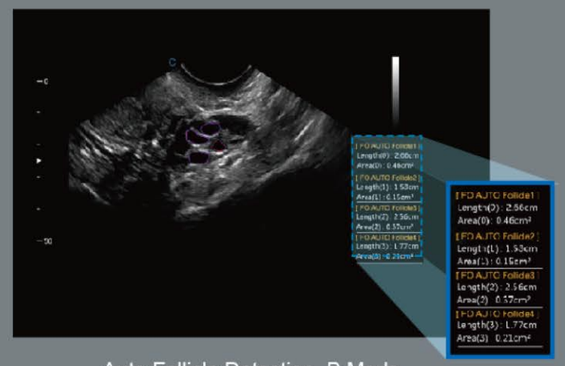

Auto Follicle Detection, B Mode

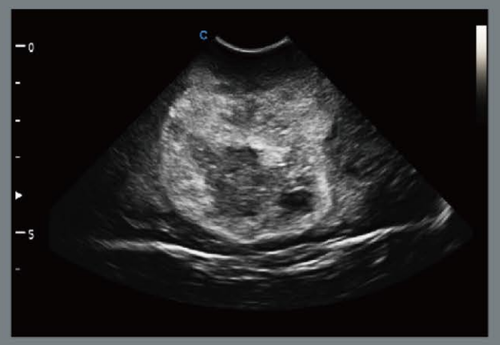

Pediatric Cerebral Tumor, B Mode

Hydronephrosis, B Mode